

**Курсова работа на тему:**  
Синтез и анализ алгоритмов нелинейной  
фильтрации координат цели и управления на  
основе расширенного дискретного фильтра  
Калмана

В мире существуют вещи важнее самых прекрасных открытий – это знание методов, которыми они были сделаны.

Готфрид Лейбниц 17 в.

## 1. Аннотация

Рассматривается конкретная задача синтеза системы наведения ЛА на цель. В качестве алгоритмического обеспечения в работе используются уравнения расширенного (нелинейного) дискретного фильтра Калмана, так как модели состояния и наблюдения являются нелинейными.

## 2. Математическая постановка задачи. Модель состояния системы

В основе решения задачи синтеза системы наведения лежат кинематические соотношения, связывающие координаты цели с параметрами движения ЛА (объекта) и цели, которые могут быть описаны системой стохастических дифференциальных уравнений.

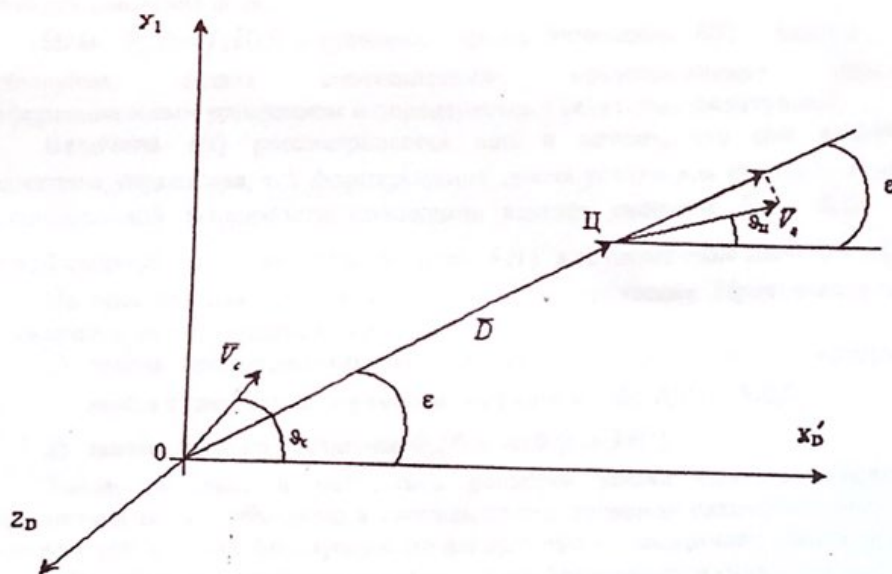


Рис. 1. Кинематическая схема системы наведения ЛА на цель в продольной плоскости

- $\bar{D}$  - вектор дальности;
- $\epsilon$  - угол визирования цели относительно ЛА;
- $\bar{V}_c$  - вектор скорости ЛА;
- $\bar{V}_q$  - вектор скорости цели;
- $\vartheta_c$  - угловое положение вектора скорости самолёта;
- $\vartheta_u$  - угловое положение вектора скорости цели.

Уравнение состояния представляет собой проекции скоростей на линию, перпендикулярную линии дальности и на линию дальности:

$$\dot{\epsilon}(t)D(t) = V_c \sin(\epsilon(t) - \vartheta_c(t)) - V_q \sin(\epsilon(t) - \vartheta_q(t)).$$

Разделив на дальность, введём угловую скорость:

$$\dot{\varepsilon}(t) = \frac{1}{D(t)} [V_c \sin(\varepsilon(t) - \vartheta_c(t)) - V_v \sin(\varepsilon(t) - \vartheta_v(t))] + W_\varepsilon(t). \quad (1)$$

$$\dot{D}(t) = -V_c \cos(\varepsilon(t) - \vartheta_c(t)) - V_v \cos(\varepsilon(t) - \vartheta_v(t)) + W_D(t). \quad (2)$$

$$\dot{\beta}(t) = 0. \quad (3)$$

Данная система уравнений является незамкнутой, так как отсутствует управление:

$$\dot{\vartheta}_c(t) = f(\hat{\varepsilon}(t), \hat{D}(t), \hat{V}_v(t), \hat{\vartheta}_v(t)).$$

Будем считать, что  $\bar{D}(t)$  измеряется с помощью бортового радиолокатора, и оценка дальности  $\hat{D}(t)$  получается в результате фильтрации. Скорость цели будем считать известной по данным доплеровского измерителя скоростей.  $\hat{\vartheta}_c(t)$  может определяться по данным датчика скоростей.  $\hat{\vartheta}_v(t)$  будем считать известной по априорным сведениям в соответствии с предполагаемой гипотезой движения цели.

Итак,  $\dot{\vartheta}_c(t) = f(\hat{\varepsilon}(t))$  - уравнение закона управления.  $\hat{\varepsilon}(t)$  - оценка угла визирования, задана соотношением, представленным первым дифференциальным уравнением и определяется в результате фильтрации.

Величина  $\varepsilon(t)$  рассматривается ещё и потому, что она является параметром управления, т.е. формирование закона управления строится в виде функциональной зависимости положения вектора скорости ЛА  $\vartheta_c(t)$  от угловой скорости линии визирования цели  $\varepsilon(t)$  в её оценочном значении  $\hat{\varepsilon}(t)$ .

На практике известно несколько законов управления. Практически все они являются модификациями двух основных законов:

- 1) закона пропорционального наведения, в соответствии с которым линия визирования перемещается || самой себе  $\dot{\vartheta}_c(t) = N\dot{\varepsilon}(t)$ ;
- 2) закона прямого наведения  $\dot{\vartheta}_c(t) = -\alpha\vartheta_c(t) + k\hat{\varepsilon}(t)$ .

Таким образом, в результате решения задачи синтеза углового координатора цели необходимо, в соответствии с теоремой разделения, решить на первом этапе задачу фильтрации по алгоритмам расширенного дискретного фильтра Калмана, рассматривая управление как детерминированный сигнал; на втором этапе решить задачу субоптимального управления, приняв оценки вектора состояния системы за точные его значения.

### 3. Модель наблюдения

Для воздушного объекта в качестве системы сопровождения используется визирное устройство, представляющее собой систему измерителей дальности и двух углов  $\bar{D}(D, \beta, \varepsilon)$ .

Уравнения наблюдения имеют вид:

$$r_D(t) = D(t) + V_D(t);$$

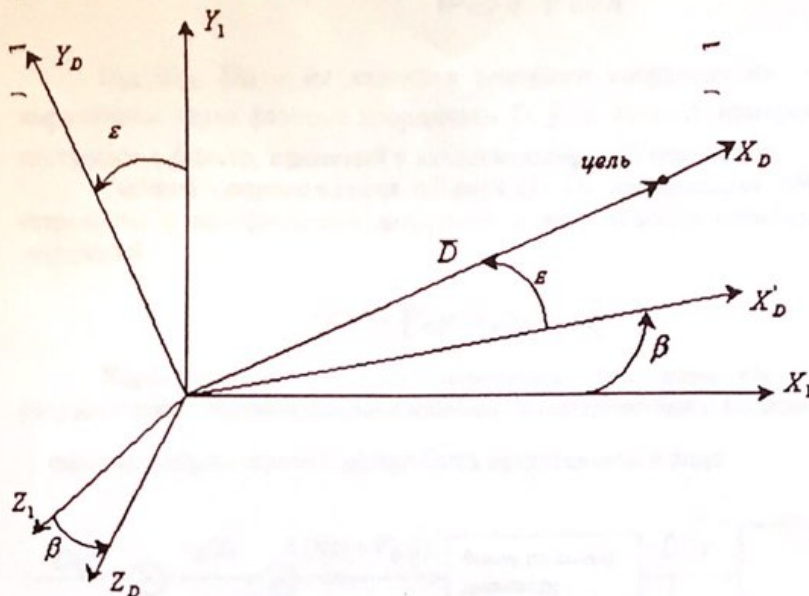
$$r_\varepsilon(t) = \varepsilon(t) + V_\varepsilon(t);$$

$$r_\beta(t) = \beta(t) + V_\beta(t).$$



$V_D(t), V_B(t), V_\varepsilon(t)$  - ошибки измерения дальности.

Инерциальная система координат "g"  $\equiv OX_g Y_g Z_g \xrightarrow{A_g^1(\psi, \vartheta, \gamma)}$  с.к.,  
связанная с самолётом "1"  $\equiv OX_1 Y_1 Z_1 \xrightarrow{A_1^D(\beta, \varepsilon)}$  с.к., связанная с визирным  
устройством "D"  $\equiv OX_D Y_D Z_D$ .



Система сопровождения объекта (цели) находится на ЛА и в данной задаче интерес представляет вектор дальности, определяющий положение объекта относительно ЛА. Тогда вектор дальности в с.к. "g":

$$\|\bar{D}\|_g = A_g^1(\psi, \vartheta, \gamma) A_1^D(\beta, \varepsilon) \|\bar{D}\|_D$$

Будем считать, что  $\psi, \theta, \gamma$  измеряются с помощью гиросплатформы инерциальной навигационной системы или вычисляются (в отсутствии гиросплатформы) и являются точно известными.

Положение  $\bar{D}$  в самолётной с.к. будет определяться:

$$\|\bar{D}\|_1 = A_1^D(\beta, \varepsilon) \|\bar{D}\|_D = A_1^D(\beta, \varepsilon) \begin{pmatrix} \|D\| \\ 0 \\ 0 \end{pmatrix};$$

$$A_1^D(\beta, \varepsilon) = \begin{pmatrix} \cos \beta \cos \varepsilon & -\cos \beta \sin \varepsilon & \sin \beta \\ \sin \varepsilon & \cos \varepsilon & 0 \\ -\sin \beta \cos \varepsilon & \sin \beta \sin \varepsilon & \cos \beta \end{pmatrix}$$

Модель измерителя в с.к. "1":

$$\|\bar{r}(t)\|_1 = \|\bar{D}(\varepsilon)\|_1 + \|\bar{v}(t)\|_1.$$

Таким образом, измеряется как бы не дальность с углами  $\beta$  и  $\varepsilon$ , а проекции вектора дальности на оси связанной с ЛА с.к. в присутствии шумов.

Модель измерителя  $\bar{r}$ :

$$\|r(t)\|_1 = \begin{Bmatrix} D_{x1}(t) \\ D_{y1}(t) \\ D_{z1}(t) \end{Bmatrix} + \begin{Bmatrix} V_{x1}(t) \\ V_{y1}(t) \\ V_{z1}(t) \end{Bmatrix}$$

$D_{x1}, D_{y1}, D_{z1}$  – не являются фазовыми координатами, но нелинейно выражаются через фазовые координаты  $D, \beta, \epsilon$ . Именно измерения модели  $\bar{\Pi}$  поступают в фильтр, принятый в качестве алгоритма обработки.

Система сопровождения объекта (ССО) представляет собой визирное устройство с измерителями дальности и двух углов с ошибками (шумами) измерений

$$V(t) = \|V_D(t) \ V_\beta(t) \ V_\epsilon(t)\|^T \quad (*)$$

Характеристики шумов измерения (\*) известны (по данным разработчиков системы сопровождения). В соответствии с моделью измерителя  $\bar{\Pi}$  система сопровождения может быть представлена в виде:

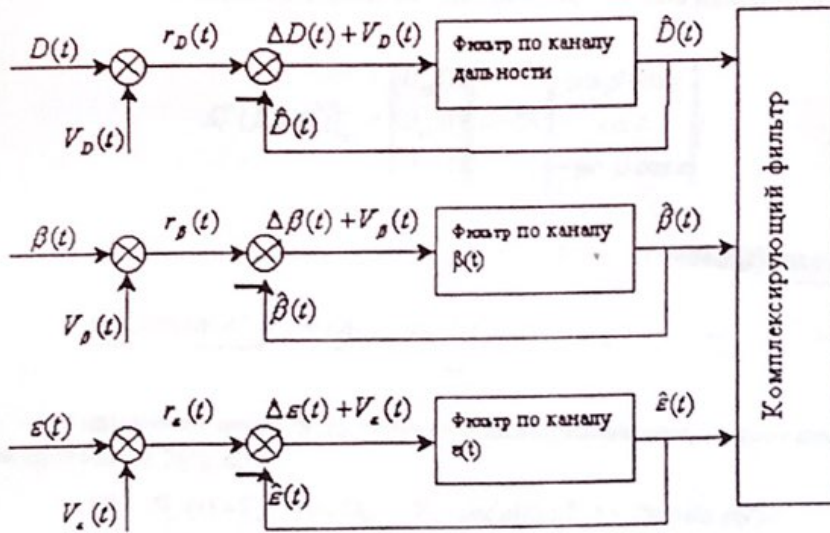


Рис.2. Схема дальномера (следающая система с отрицательной обратной связью)

В расширенный дискретный фильтр Калмана поступают сигналы измерителей в соответствии с моделью  $\bar{\Pi}$  - проекции вектора дальности  $\bar{D}(t)$  на оси ЛА. Модель  $\bar{\Pi}$  - нелинейная, поэтому для перехода от модели измерений  $\bar{\Pi}$  к модели  $\bar{\Pi}$  проведём линеаризацию нелинейных функций относительно ошибок измерения.

$$\|\bar{D}(t)\|_1 = A_1^D(\beta(t), \epsilon(t)) \begin{Bmatrix} D \\ 0 \\ 0 \end{Bmatrix}$$



$$\| \bar{D}(t) + \bar{V}(t) \|_1 = A_1^D(\beta(t) + V_\beta, \varepsilon(t) + V_\varepsilon) \begin{pmatrix} D(t) + V_D \\ 0 \\ 0 \end{pmatrix} = F_{s.v.}(D(t) + V_D, \beta(t) + V_\beta, \varepsilon(t) + V_\varepsilon)$$

Разложим нелинейные функции в ряд Тейлора:

$$f(x + \Delta x, y + \Delta y, z + \Delta z) = f(x, y, z) + \frac{\partial f}{\partial x} \Delta x + \frac{\partial f}{\partial y} \Delta y + \frac{\partial f}{\partial z} \Delta z$$

Для канала по D(t) линеаризованная модель измерителя имеет вид:

$$r_1(t) = D_{x1}(t) + V_{x1}(t) = f_1(D(t) + V_D, \beta(t) + V_\beta, \varepsilon(t) + V_\varepsilon) = f_1(D, \beta, \varepsilon) + \frac{\partial f_1}{\partial D} V_D + \frac{\partial f_1}{\partial \beta} V_\beta + \frac{\partial f_1}{\partial \varepsilon} V_\varepsilon;$$

( $V_D, V_\beta, V_\varepsilon$  задаются разработчиком).

Так как координаты  $D_{x1}(t)$ ,  $D_{y1}(t)$ ,  $D_{z1}(t)$  не являются фазовыми, но нелинейно выражаются через фазовые координаты ( $D, \beta, \varepsilon$ ), получим эти зависимости с учётом линеаризации относительно шумов измерений:

$$A_1^D(\beta, \varepsilon) \| \bar{D} \|_D = \begin{pmatrix} D_{x1}(t) \\ D_{y1}(t) \\ D_{z1}(t) \end{pmatrix} = \begin{pmatrix} D \\ \vdots \\ D \end{pmatrix} \begin{pmatrix} \cos \beta \cos \varepsilon \\ \sin \varepsilon \\ -\sin \beta \cos \varepsilon \end{pmatrix};$$

$$r_1(t) = (D(t) + V_D) \cos(\beta(t) + V_\beta) \cos(\varepsilon(t) + V_\varepsilon) = \underbrace{D(t) \cos \beta(t) \cos \varepsilon(t)}_{D_{x1}(t)} + \underbrace{\cos \beta(t) \cos \varepsilon(t) V_D}_{a_{11}} + \underbrace{D(t) (-\sin \beta(t)) \cos \varepsilon(t) V_\beta}_{a_{12}} + \underbrace{D(t) \cos \beta(t) (-\sin \varepsilon(t)) V_\varepsilon}_{a_{13}}$$

Аналогично могут быть получены линеаризованные модели измерителей для каналов по  $\beta(t)$ ,  $\varepsilon(t)$ :

$$\begin{aligned} r_2(t) &= D_{y1}(t) + V_{y1}(t) = (D(t) + V_D) \sin(\varepsilon(t) + V_\varepsilon) = D(t) \sin \varepsilon(t) + \sin \varepsilon(t) V_D + 0 + D(t) \cos \varepsilon(t) V_\varepsilon; \\ r_3(t) &= D_{z1}(t) + V_{z1}(t) = (D(t) + V_D) (-\sin(\beta(t) + V_\beta)) \cos(\varepsilon(t) + V_\varepsilon) = \\ &= -D(t) \sin \beta(t) \cos \varepsilon(t) - \sin \beta(t) \cos \varepsilon(t) V_D - D(t) \cos \beta(t) \cos \varepsilon(t) V_\beta + \\ &+ D(t) \sin \beta(t) \sin \varepsilon(t) V_\varepsilon. \end{aligned}$$

Вектор шумов измерений для линеаризованной модели  $\bar{V}$  имеет вид:

$$\begin{pmatrix} V_{x1}(t) \\ V_{y1}(t) \\ V_{z1}(t) \end{pmatrix} = \begin{pmatrix} a_{11} V_D & a_{12} V_\beta & a_{13} V_\varepsilon \\ a_{21} V_D & a_{22} V_\beta & a_{23} V_\varepsilon \\ a_{31} V_D & a_{32} V_\beta & a_{33} V_\varepsilon \end{pmatrix} = \begin{pmatrix} a_{11} & a_{12} & a_{13} \\ a_{21} & a_{22} & a_{23} \\ a_{31} & a_{32} & a_{33} \end{pmatrix} \begin{pmatrix} V_D \\ V_\beta \\ V_\varepsilon \end{pmatrix},$$

где  $\begin{pmatrix} a_{11} & a_{12} & a_{13} \\ a_{21} & a_{22} & a_{23} \\ a_{31} & a_{32} & a_{33} \end{pmatrix}$  - матрица коэффициентов при векторе шумов

измерений;

$\begin{pmatrix} V_D \\ V_\beta \\ V_\epsilon \end{pmatrix}$  - случайный вектор шумов (ошибок) измерений системы

сопровождения объекта.

Матрица интенсивностей непрерывных белых шумов (ошибок) измерений для приведенной модели будет иметь вид:

$$R = \begin{pmatrix} \sigma_{V_{x1}}^2(t) & R_{V_{x1}V_{y1}}(t) & R_{V_{x1}V_{z1}}(t) \\ R_{V_{y1}V_{x1}}(t) & \sigma_{V_{y1}}^2(t) & R_{V_{y1}V_{z1}}(t) \\ R_{V_{z1}V_{x1}}(t) & R_{V_{z1}V_{y1}}(t) & \sigma_{V_{z1}}^2(t) \end{pmatrix}$$

Вне диагонали стоят взаимные интенсивности шумов приведенной модели измерений.

$$\sigma_{V_{x1}}^2(t) = a_{11}^2 \sigma_{V_D}^2(t) + a_{12}^2 \sigma_{V_\beta}^2(t) + a_{13}^2 \sigma_{V_\epsilon}^2(t);$$

$$R_{V_{x1}V_{y1}}(t) = R_{V_{y1}V_{x1}}(t) = a_{11}a_{21} \sigma_{V_D}^2(t) + a_{12}a_{22} \sigma_{V_\beta}^2(t) + a_{13}a_{23} \sigma_{V_\epsilon}^2(t);$$

$$R_{V_{x1}V_{z1}}(t) = R_{V_{z1}V_{x1}}(t) = a_{11}a_{31} \sigma_{V_D}^2(t) + a_{12}a_{32} \sigma_{V_\beta}^2(t) + a_{13}a_{33} \sigma_{V_\epsilon}^2(t);$$

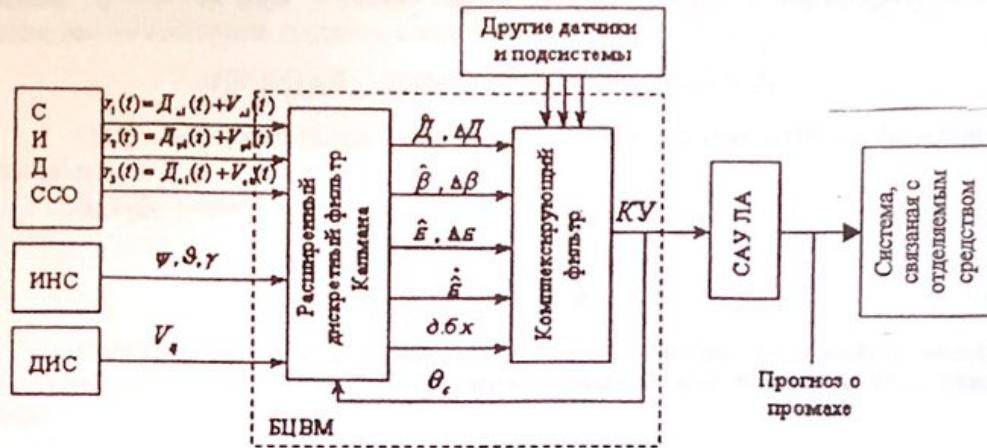
$$\sigma_{V_{y1}}^2(t) = a_{21}^2 \sigma_{V_D}^2(t) + a_{22}^2 \sigma_{V_\beta}^2(t) + a_{23}^2 \sigma_{V_\epsilon}^2(t);$$

$$R_{V_{y1}V_{z1}}(t) = R_{V_{z1}V_{y1}}(t) = a_{21}a_{31} \sigma_{V_D}^2(t) + a_{22}a_{32} \sigma_{V_\beta}^2(t) + a_{23}a_{33} \sigma_{V_\epsilon}^2(t);$$

$$\sigma_{V_{z1}}^2(t) = a_{31}^2 \sigma_{V_D}^2(t) + a_{32}^2 \sigma_{V_\beta}^2(t) + a_{33}^2 \sigma_{V_\epsilon}^2(t).$$



## Структура ПНК с субоптимальным алгоритмическим обеспечением



$Q_c$  – закон управления.

КУ – команды управления.

$\delta.б.к.$  – данные блока ковариаций.

В результате оценивания фазовых координат  $(\hat{D}, \hat{\beta}, \hat{\varepsilon})$ , получаемых на выходе РДФК можно сформулировать прогноз о промахе на основе информации, заключенной в статистических характеристиках линейного промаха, приняв за оценку точности наведения величину математического ожидания линейного промаха, приближенно вычисляемую по формуле

$$M[\Delta h(t)] = \frac{(\hat{D}^*(t))^2}{|\hat{D}(t)|} \hat{\varepsilon}^*(t),$$

где  $\hat{D}(t)$  ( $\hat{D}^*(t)$ ) – оценка дальности между ЛА и целью в текущий момент времени (на момент срыва наведения).

В настоящее время в ПНК широкое распространение получили субоптимальные алгоритмы обработки информации, базирующиеся на непрерывных дифференциальных и разностных математических моделях.

Ведущая роль в алгоритмическом обеспечении ПНК принадлежит теории Калмановской фильтрации. Ввиду нелинейности поставленной задачи в данной работе в качестве алгоритмического обеспечения используется расширенный дискретный фильтр Калмана.

### Алгоритм расширенного дискретного фильтра Калмана

Математическая модель динамики состояний системы

$$x(k+1) = \Phi[x(k), k] + \Gamma[x(k), k]W(k), \quad x(k_0) - \text{н.у.}, \quad (1)$$

где  $x(k)$  – недоступный непосредственному наблюдению фазовый вектор-столбец переменных состояний системы размерности  $[n \times 1]$ ;

$x(k_0)$  – начальное состояние системы – есть случайный вектор с математическим ожиданием  $M[x(k_0)] = \bar{x}_0$ , и заданной ковариационной матрицей

$$P_{x_0} = P_x(k_0) = \text{cov}[x(k_0), x(k_0)] = M[(x(k_0) - \bar{x}_0)(x(k_0) - \bar{x}_0)^T].$$

Замечание:  $P_{x_0}$  – есть симметрическая матрица размерности  $[n \times n]$ , в общем случае она является диагональной, элементы которой, стоящие по диагонали представляют собой дисперсии вектора-столбца переменных состояний системы.



$W(k)$  – случайный векторный процесс, представляющий собой дискретный белый гауссовский шум, в общем случае размерности  $[n \times 1]$ , характеризующий возмущения состояний системы, с характеристиками:

$$M[W(k)] = 0, \quad \text{cov}[W(k), W(j)] = Q_1(k) \delta_k(k-j).$$

$Q_1(k)$  – неотрицательно определенная ковариационная матрица размерности  $[n \times n]$ .

$\delta_k(k-j)$  – символ Кронекера.

$$\delta_k(k-j) = \begin{cases} 1, & k = j; \\ 0, & k \neq j. \end{cases}$$

$\Gamma[x(k), k]$  – матрица размерности  $[n \times n]$ , отражающая зависимость между фазовым вектором-столбцом переменных состояний  $x(k)$  и шумом состояния  $W(k)$ .

Модель наблюдения системы имеет вид

$$r(k) = S[x(k), k] + V(k), \quad (\text{II})$$

где  $r(k)$  – вектор измерений  $[m \times 1]$ .

$S[x(k), k]$  – нелинейная векторная функция  $[m \times 1]$  переменных состояния системы представляющая собой аналитическое выражение сигналов различной физической природы.

Замечание: нелинейная зависимость полезного сигнала измерителя от вектора фазовых координат является характерной особенностью прицельно-навигационных задач.

$V(k)$  – векторный процесс типа белого гауссовского шума, характеризующий шумы (ошибки) измерений с характеристиками

$$M[V(k)] = 0, \quad \text{cov}[V(k), V(j)] = R_1(k) \delta_k(k-j),$$

где  $R_1(k)$  – положительно определенная ковариационная матрица интенсивности шумов измерений системы, вне диагонали которой стоят взаимные интенсивности шумов или ошибок измерений.

Полагаем, что вектор начального состояния  $x(k_0)$ , вектор ошибок измерений  $V(k)$  и вектор шумов возмущения состояний системы  $W(k)$  взаимно не коррелированы.

$$\text{cov}[x(k_0), V(k)] = \text{cov}[x(k_0), W(k)] = \text{cov}[V(k), W(j)] = 0, \quad \text{для } \forall k, j > k_0.$$

### Алгоритм фильтрации (оценивания)

Замечание: будем обозначать

$$\hat{x}(k+1, k+1) = \hat{x}(k+1),$$

$$\hat{x}(k, k) = \hat{x}(k).$$

$$\hat{x}(k+1) = \hat{x}(k+1, k) + K(k+1)[r(k+1) - S[\hat{x}(k+1, k), k+1]]. \quad (1)$$

Одношаговое предсказание или прогноз оценки на  $(k+1)$  шаг

$$\hat{x}(k+1, k) = \Phi[\hat{x}(k), k], \quad \text{н.у. } \hat{x}(k_0) = \hat{x}_0. \quad (2)$$

Алгоритм прогнозной (априорной) ковариационной матрицы ошибок оценивания

$$P(k+1, k) = \frac{\partial \Phi[\hat{x}(k), k]}{\partial \hat{x}(k)} P(k, k) \frac{\partial \Phi^T[\hat{x}(k), k]}{\partial \hat{x}(k)} + \Gamma[\hat{x}(k), k] Q_1(k) \Gamma^T[\hat{x}(k), k], \quad (3)$$

и.у.  $P_1(k_0) = P(0, 0)$ .

Алгоритм апостериорной ковариационной матрицы ошибок оценивания

$$P(k+1, k+1) = P(k+1, k) - P(k+1, k) \frac{\partial S^T[\hat{x}(k+1, k), k+1]}{\partial \hat{x}(k+1, k)} \left[ \frac{\partial S[\hat{x}(k+1, k), k+1]}{\partial \hat{x}(k+1, k)} \right. \\ \left. \cdot P(k+1, k) \frac{\partial S^T[\hat{x}(k+1, k), k+1]}{\partial \hat{x}(k+1, k)} + R_1(k+1) \right]^{-1} \frac{\partial S[\hat{x}(k+1, k), k+1]}{\partial \hat{x}(k+1, k)} P(k+1, k). \quad (4)$$

Коэффициент усиления в матричной форме (в зависимости от ковариационной матрицы ошибок оценивания)

$$K(k+1) = P(k+1, k+1) \cdot \frac{\partial S^T[\hat{x}(k+1, k), k+1]}{\partial \hat{x}(k+1, k)} R_1^{-1}(k+1). \quad (5)$$

Ошибка оценивания на  $(k+1)$  шаге

$$\Delta x(k+1) = x(k+1) - \hat{x}(k+1). \quad (6)$$

Начальные условия для расчета по алгоритму РДФК соответствуют априорным значениям математического ожидания  $\hat{x}(k_0) = \bar{x}_0$  вектора состояния и ковариационной матрицы в начальный момент времени  $P_x(k_0) = P(0, 0)$ .

Структурная схема алгоритма обработки по уравнениям РДФК (1)-(6) при постановке задачи (I)-(II) представлена на рисунке (стр. 11).

Субоптимальной оценкой, выдаваемой на выходе с учетом наблюдений  $r(k)$ , поступающих на вход фильтра, является условное математическое ожидание на интервале наблюдения  $(k_0, k)$

$$\hat{x}(k) = M[x(k) / r(k)]$$

Нелинейный фильтр Калмана формирует оценку лишь приближенно, более того само уравнение ковариаций для нелинейных моделей состояний системы и наблюдений является приближенным и справедливым лишь при достаточной малости ошибок оценивания.

Уравнение ковариационной матрицы ошибок оценивания зависит от производных нелинейных функций уравнений состояния системы и производных нелинейных функций полезных сигналов наблюдений от одношагового предсказания по соответствующим оценкам.

Функция  $S[\hat{x}(k+1, k), k+1]$  является нелинейной функцией прогноза оценки на  $(k+1)$  шаг.

$$\text{Производные} \quad \frac{\partial \Phi[\hat{x}(k), k]}{\partial \hat{x}(k)} \quad \text{и} \quad \frac{\partial S[\hat{x}(k+1, k), k+1]}{\partial \hat{x}(k+1, k)}$$

представляют собой матрицы Якоби.

Функция  $S(x) = [S_1(x) \dots S_m(x)]$  —  $m$ -мерная векторная функция векторного аргумента  $x = \|x_1 \dots x_n\|^T$  и матрицы Якоби будут иметь размерности  $[m \times n]$  и представляют собой в каждой строке градиент функции  $S_i$ ,  $i = \overline{1, m}$  по компонентам вектора состояния  $x_j$ ,  $j = \overline{1, n}$ , т.е. в каждой строке градиент поля.

Замечание: дискретный и непрерывный алгоритмы Калмана являются точными только в том случае, если модели состояния и наблюдения линейны. Дан-



ный алгоритм выдает наилучшую оценку вектора состояния (в силу линеаризации), минимизирующую ковариационную матрицу ошибок оценивания.

Для получения РДФК был выбран метод линеаризации в силу следующих причин: раскладывая функцию  $\Phi$  в ряд, получали оценку  $\hat{x}(k-1)$ , затем при поступлении измерений  $r(k)$  на основании невязок  $r(k) - S[x(k, k-1), k]$  получали оценку  $\hat{x}(k)$ ; допускали, что оценка  $\hat{x}(k)$  "вероятно" лучше, чем прогноз оценки  $\hat{x}(k, k-1)$ , поэтому осуществляли линеаризацию функции  $\Phi$  в оценочной точке  $\hat{x}(k)$ . Таким образом был получен итерационный дискретный фильтр, пересчитывающий оценку вектора состояния в итерационном процессе любое желаемое число раз с учетом линеаризации функций  $\Phi$  и  $S$  в окрестностях точек  $\hat{x}(k)$  и  $\hat{x}(k+1, k)$ , соответственно.

Наилучшая оценка  $\hat{x}(k)$  на интервале наблюдения зависит от выбранного критерия качества. В расширенном фильтре Калмана наилучшая оценка  $\hat{x}(k)$  на основе измерений  $r(k)$  на интервале наблюдения  $(k_0, k)$  является оценкой максимизирующей апостериорную плотность вероятности  $\omega(x(k)/r(k))$  по функции  $x$ .

Максимизация апостериорной плотности эквивалентна задаче минимизации функционала следующего вида

$$I = \frac{1}{2} \|\hat{x}(k_0) - \bar{x}_0\|^2 P_x(k_0) + \frac{1}{2} \sum_{k=k_0+1}^{k_f} \|r(k) - S[\hat{x}(k, k-1), k]\|^2 R_1^{-1}(k) + \sum_{k=k_0}^{k_f} \|W(k)\|^2 Q_1^{-1}(k)$$

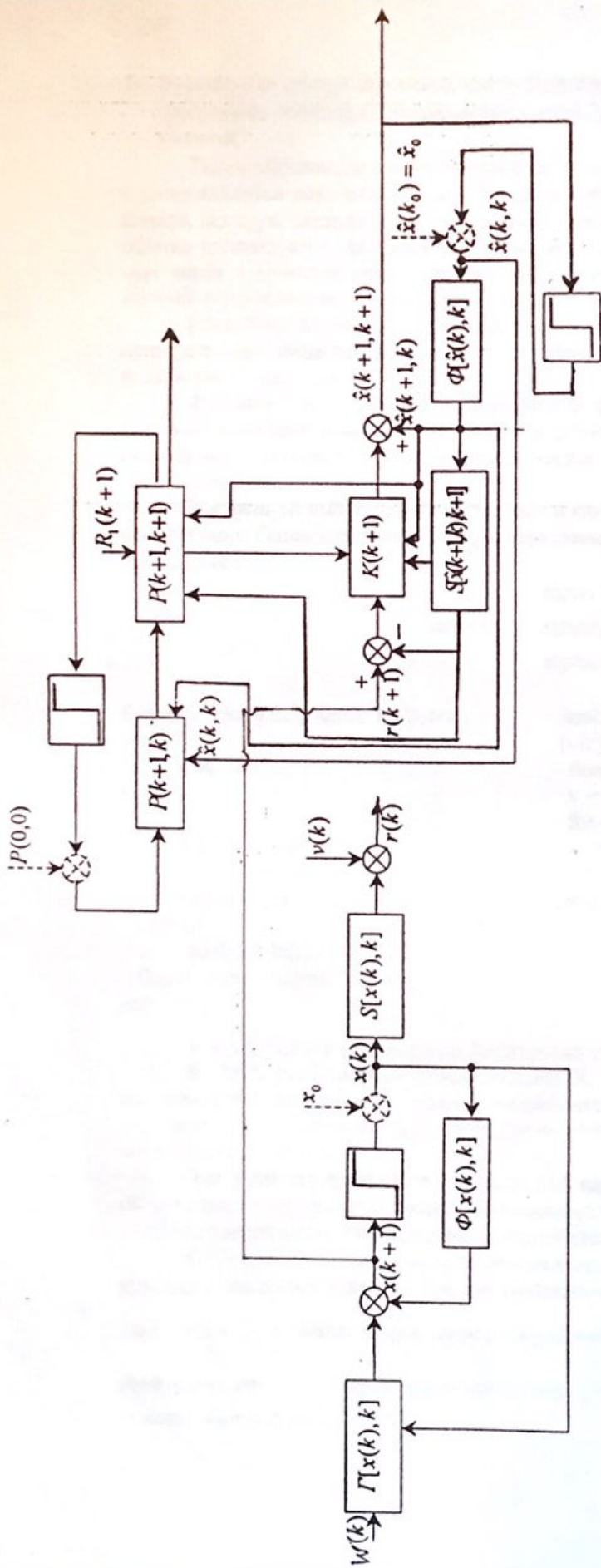
Фильтр, реализующий максимум апостериорной плотности вероятности (МАВ), является, в общем случае, дискретным фильтром, т.к. сама апостериорная плотность вероятности, на основе которой получены алгоритмы фильтрации, не существует при неограниченном устремлении к нулю шага дискретизации.

### Моделирование случайных процессов

Функция-генератор Random генерирует вещественные случайные числа, распределенные с равномерной плотностью вероятности на интервале, и имеет следующие особенности:

- 1) В том случае, если вызов функции Random осуществляется без аргумента, то интервал распределения, возвращаемых случайной функцией значений, будет  $0 \leq r < 1$ . Если функция имеет параметр  $N$  (Random(N)), то интервал распределения случайных чисел —  $0 \leq r < N$ .





Структурная схема РДФК

2) Функция-генератор случайных чисел Random при последовательных запусках программы генерирует последовательность с одними и теми же случайными числами

Таким образом, данный генератор не является оптимальным, поскольку результат является псевдослучайным. В связи с этим используется процедура Randomize, которую следует включать в начале программы. В процедуре Randomize обычно используется так называемый встроенный таймер для получения случайных чисел в качестве новой заправки при генерации последовательности, сбивающей эту последовательность на новое случайное число.

Генератор случайных чисел Random с равномерным распределением используется при создании генераторов случайных последовательностей с другими видами распределения.

Функция Гаусса (Gauss), использующая функцию-генератор Random, возвращает случайное вещественное число с нормальным законом распределения, имеющим характеристики:  $m_0$  (математическое ожидание) и  $\sigma$  (среднеквадратическое отклонение).

В курсовой работе ошибки измерений формируются с помощью стандартной функции Gauss с заданными характеристиками для каждого канала системы измерителей.

$$m_0 = 0, \quad \begin{matrix} \sigma D \\ \sigma \beta \\ \sigma \epsilon \end{matrix}$$

```
Function Gauss(mo, sigma: real): real;
var
  a, b, r, sq: real;
begin
  repeat
    a := 2 * Random - 1;
    b := 2 * Random - 1;
    r := sqr(a) + sqr(b);
  until (r < 1);
  sq := sqrt(-2 * ln(r) / r);
  Gauss := mo + sigma * a * sq;
end;
```

```
float Gauss(float sig)
(int j;
float v;
v = 0;
for (j = 0; j < 12; j++)
v += ((double) rand() / 32768 - 0.5);
v *= sig;
return v; }
```

В VAX / UNIX используется библиотека стандартных подпрограмм LSSP.

В UNIX используется функция Gauss(IX, S, AM, V), где IX – целое нечетное девятизначное число, S – среднеквадратическое отклонение, AM – желаемое математическое ожидание, V – генерируемое случайное число с нормальным законом распределения.

Эта функция использует комбинацию случайных чисел, распределенных по равномерному закону с целью получения нормального распределения в соответствии с центральной предельной теоремой (теоремой Ляпунова).

Если имеется случайная последовательность чисел с одним и тем же законом распределения, одним и тем же математическим ожиданием и дисперсией

$\{x_k\}$ , то  $y = \sum_{k=1}^n x_k$  будет иметь закон распределения близкий к нормальному с параметрами:  $m_x$  – математическое ожидание,  $\sqrt{m_x} \cdot \sigma_x$  – дисперсия, и тем ближе

(к нормальному), чем больше  $n$ .



2) Функция-генератор случайных чисел `Random` при последовательных запусках программы генерирует последовательность с одинами и теми же случайными числами.

Таким образом, данный генератор не является оптимальным, поскольку результат является псевдослучайным. В связи с этим используется процедура `Randomize`, которую следует включать в начале программы. В процедуре `Randomize` обычно используется так называемый встроенный таймер для получения случайных чисел в качестве новой заправки при генерации последовательности, обивающей эту последовательность на новое случайное число.

Генератор случайных чисел `Random` с равномерным распределением используется при создании генераторов случайных последовательностей с другими видами распределения.

Функция Гаусса (`Gauss`), использующая функцию-генератор `Random`, возвращает случайное вещественное число с нормальным законом распределения, имеющим характеристики:  $m_0$  (математическое ожидание) и  $\sigma$  (среднеквадратическое отклонение).

В курсовой работе ошибки измерений формируются с помощью стандартной функции `Gauss` с заданными характеристиками для каждого канала системы измерителей.

$$m_0 = 0, \quad \sigma = \sigma$$

```
Function Gauss(m0, sigma: real); real;
var
  a, b, r, sq: real;
begin
  repeat
    a := 2 * Random - 1;
    b := 2 * Random - 1;
    r := sqrt(a) + sqrt(b);
  until (r < 1);
  sq := sqrt(-2 * ln(r) / r);
  Gauss := m0 + sigma * a * sq;
end;
```

В VAX / UNIX используется библиотека стандартных подпрограмм `LSSP`. В UNIX используется функция `Gauss(DX, S, AM, V)`, где `DX` – целое нечетное действительное число, `S` – среднеквадратическое отклонение, `AM` – желаемое математическое ожидание, `V` – генерируемое случайное число с нормальным законом распределения.

Эта функция использует комбинацию случайных чисел, распределенных по равномерному закону с целью получения нормального распределения в соответствии с центральной предельной теоремой (теоремой Делюнова).

Если имеется случайная последовательность чисел с одним и тем же законом распределения, одним и тем же математическим ожиданием и дисперсией ( $x_i$ ), то  $y = \sum_{i=1}^n x_i$  будет иметь закон распределения близкий к нормальному с параметрами:  $m_y = n \cdot m_x$  – математическое ожидание,  $\sigma_y = \sqrt{n} \cdot \sigma_x$  – дисперсия, и тем ближе (к нормальному), чем больше  $n$ .

```
float Gauss(float m0, float sigma) {
float a, b, r, sq;
float v;
do {
  a=2*rand()-1;
  b=2*rand()-1;
  r=sqrt(a*a+b*b);
  } while(r<1);
  sq=sqrt(-2*log1(r)/r);
  v=m0+sigma*a*sq;
  return v;
}
```